

Литература

1. Басов К.А. ANSYS в примерах и задачах / Под общ.ред. Д.Г.Красновского. – М.: КомпьютерПресс, 2002. – 224 с.
2. Противокоррозийная защита трубопроводов и резервуаров : учебник для вузов / М.В.Кузнецов, В.Ф.Новоселов, П И.Тугунов, В.Ф.Котов. – М.: Недра, 1992. – 237 с.
3. Рябов А.А. Трубопроводный транспорт – 2011: диагностика, эксплуатация и реконструкция. // Безопасность труда в промышленности.
4. Строительные нормы и правила: СНиП 2.05.06 – 85\*. Магистральные трубопроводы. – М.: ФГУП ЦПП, 2005 – 60с.

**ИССЛЕДОВАНИЕ НАПРЯЖЕННО-ДЕФОРМИРОВАННОГО СОСТОЯНИЯ УЧАСТКА ТРУБОПРОВОДА В ОСЛОЖНЕННЫХ УСЛОВИЯХ**

**Д.У. Момунов, М.Ю. Чухарев**

Научный руководитель профессор П.В. Бурков

**Национальный исследовательский Томский политехнический университет, г. Томск, Россия**

В настоящее время одним из определяющих требований, предъявляемых к магистральным трубопровода, является обеспечение их надежного, безопасного функционирования при длительных сроках эксплуатации. Связано это со сложными условиями работы конструкций, обусловленными повышением рабочих напряжений, расширением температурного интервала эксплуатации, работой конструкций в различных агрессивных средах. Необходимость выполнения этого требования диктуется высоким уровнем затрат на строительство и ремонт трубопроводов, серьезными экологическими проблемами при авариях, ужесточением законодательных норм по охране окружающей среды. Балластировка трубопроводов – способ закрепления трубопроводов с помощью утяжеляющих грузов или бетонированием при прокладке их на заболоченных или обводненных грунтах. Балластировкой трубопроводов называется также сам процесс производства работ, связанных с установкой грузов или бетонированием труб. Утяжеляющие грузы – седловидные, шарнирные, с гибкими элементами и др. – укладываются на трубы при сооружении трубопроводов с помощью трубоукладчика, болотного экскаватора, крана-амфибии, вертолета. Для балластировки трубопровода бетонированием производят сплошное равномерное покрытие труб (внешнее бетонирование), осуществляющее часто на стационарной базе, или заполнение бетоном пространства между трубопроводом и внешним кожухом (конструкция типа «труба в трубе»).

Цель работы - моделирование напряженно-деформированного состояния участка промыслового нефтепровода в осложненных условиях и определение условий балластировки или применение поплавковых конструкций для участков трубопровода, пролегающих по болоту III типа, при помощи программы обеспечения ANSYS. ANSYS является универсальной конечно-элементной программой, применяемой для решения прочностных, тепловых, акустических, гидро- и газодинамических задач.

Наибольшее распространение при анализе напряжений и деформаций в инженерных конструкциях получил метод конечных элементов (МКЭ). Первые разработки МКЭ были выполнены в 50-х годах двадцатого столетия для решения задач сопротивления материалов. В 60-е годы математики получили строгое обоснование этого метода, после чего он стал общим средством изучения задач в частных производных, постепенно вытесняя метод конечных разностей, который рассматривался в то время, как универсальное средство решения названных задач. Благодаря работам О.Зенкевича, Р.Галлера, Дж.Одена и других ученых, начиная с 1970 г., МКЭ становится все более популярным среди инженеров всех специальностей. Тогда же были разработаны первые программные комплексы, в которых реализовался метод конечных элементов. [1, 4] В настоящее время программным комплексом, в котором в наибольшей степени реализованы возможности МКЭ, является ANSYS.

Для реализации данной цели необходимо выполнить следующие задачи:

Определение характеристик расчетных трубопроводов

Расчет изменения напряженно-деформированного состояния 1-го и 2-го участков трубопроводов, вследствие влияния веса трубы и выталкивающей силы водной фазы.

Необходимые значения соответствующих нагрузок находим согласно СНиП 2.05.06-85\*. [2, 5, 6]

Технические характеристики участков трубопровода:

В данной работе представлена марка стали, используемая в районах крайнего севера при температуре окружающей среды от -60 °C до 40 °C – 13ХФА. Конструкционная легированная сталь повышенной коррозионной стойкости и хладостойкости. Трубы отличаются от нефтегазопроводных труб обычного исполнения по ГОСТ 8731, ГОСТ 8732, повышенной хладостойкостью, повышенной стойкостью к общей и язвенной коррозии, стойкостью к сульфидному коррозионному растрескиванию и образованию водородных трещин.

- |   |  |
|---|--|
| • D = 0,219 м                             | • $\sigma_{текущ.} = 353 \text{ Н/мм}^2$ |
| • S = 0,008 м                             | • m трубы = 41,36 кг                     |
| • L= 10v                                  | • m нефти = 27 кг                        |
| • $\rho$ воды = 1000 кг/м <sup>3</sup>    | • g = 9,8 м/с <sup>2</sup>               |
| • $\rho$ нефти = 850 кг/м <sup>3</sup>    | • h = 1,5 м                              |
| • $\sigma$ прочн. = 520 Н/мм <sup>2</sup> |  |

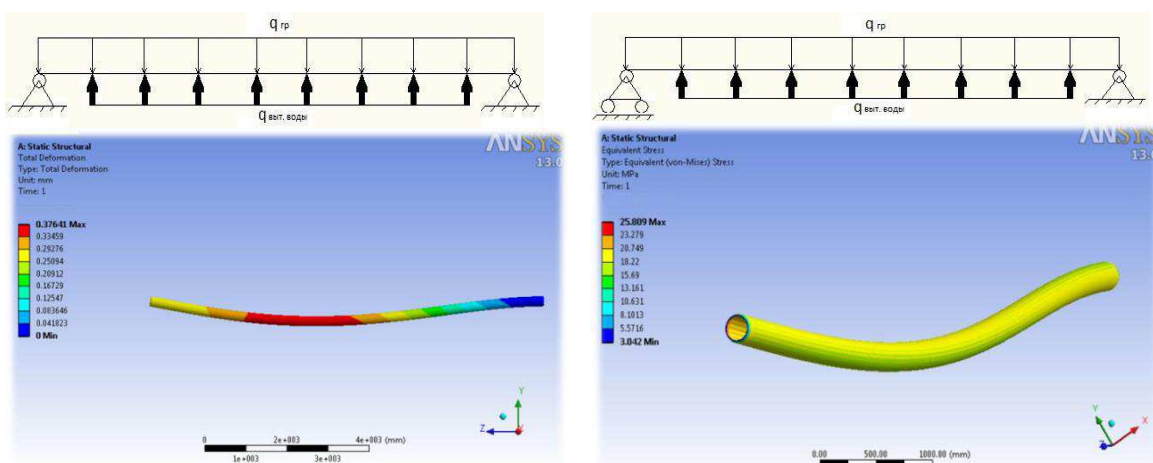
Напряженно-деформированное состояние любого несущего элемента линейной части промыслового трубопровода однозначно определяется характеристиками воздействующих на него нагрузок. На подземные трубопроводы, проложенные в болотах, действуют постоянная нагрузка от выталкивающей силы водной среды ( $q$  выт. воды) и длительная нагрузка от внутреннего давления перекачиваемого продукта, так же имеет место действие собственного веса трубы при наличии жесткой заделки трубопровода. [4]

В данной работе рассматриваются 2 варианта заделки трубопровода в грунт:

- 1) Трубопровод «жестко» закреплен с обеих сторон перехода. В качестве «жесткой» заделки используется вид грунта – глина.
- 2) Трубопровод «жестко» закреплен с одной стороны перехода, а с другой допускаются продольные перемещения. В качестве «скользящей» опоры используется вид грунта – суглинки.

Температурные воздействия и действия веса перекачиваемого продукта не учитываются.  
Геологические условия для участка:

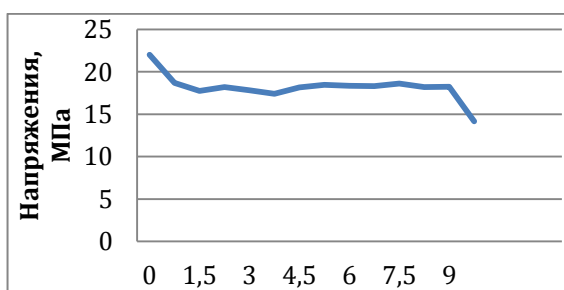
- Тип грунта с правой стороны болота, по ходу прокладки трубопровода : глина
- Тип грунта с левой стороны болота, по ходу прокладки трубопровода: суглинки
- Тип болота : III



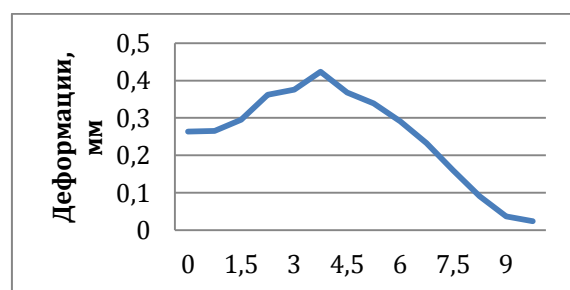
**Рис.1 Трубопровод жестко закреплен с обеих сторон**

**Рис.2 Трубопровод жестко закреплен с одной стороны, с другой допускаются продольные перемещения**

Максимальное значение деформации на участке трубопровода = 0,37мм в поперечном направлении, в то время как в продольном направлении, это значение = 0,25мм. Максимальное напряжение равно 25,8 МПа будет наблюдаться внутри полости трубопровода и не будет влиять на его устойчивость.



**Рис.3 Распределение суммарных напряжений, полученных в расчете**



**Рис.4 Распределение суммарных деформаций, полученных в расчете**

В результате расчета было установлено: в данных условиях, при жесткой заделке трубопровода в грунт, с одной стороны перехода, и допустимых перемещениях в продольном направлении с другой, трубопровод не нуждается в дополнительной установке поплавковых приспособлений, так как его деформации являются незначительными и не могут повлиять на его прочность и устойчивость.

#### Литература

1. Применение метода конечных элементов в решении задач прикладной механики: учебн.-метод. пособие для студентов технических специальностей / А.О.Шимановский, А.В.Путято; М-во образования Респ. Беларусь, Белорус. гос. ун-т трансп. – Гомель: БелГУТ, 2008. – 61с.
2. Строительные нормы и правила (СНиП) 2.05.06-85\* «Магистральные трубопроводы». – М., 1997. – 59 с.
3. Галлагер Р. Метод конечных элементов. Основы. – М.: Мир, 1984.- 428 с.

4. Бурков П.В., Буркова С.П., Вертинская О.В. Исследование силовых факторов системы среда – трубопровод // Горный информационно-аналитический бюллетень, 2011, - №2. – с.153-157.

**ИССЛЕДОВАНИЕ МИНЕРАЛЬНОГО СОСТАВА КОНВЕРТЕРНЫХ МАГНЕЗИАЛЬНЫХ  
ШЛАКОВ ДЛЯ ФОРМИРОВАНИЯ ИЗНОСОУСТОЙЧИВОГО ГАРНИСАЖА НА ФУТЕРОВКЕ  
АГРЕГАТА**

**А.Н. Калиногорский**

Научный руководитель профессор Е.В. Протопопов

**Сибирский государственный индустриальный университет, г. Новокузнецк, Россия**

Нанесение гарнисажа при раздувке конвертерного шлака является важной составляющей технологии горячих ремонтов футеровки агрегатов. Для повышения износостойчивости гарнисажа предлагается формирование конвертерных магнезиальных шлаков с рациональным соотношением высоко- и низкотемпературных фаз [1].

С целью определения изменений, происходящих в конвертерном шлаке при вводе в него определенного количества специальных добавок, в частности высокомагнезиальных флюсов, наряду с химическим анализом проведены исследования минерального состава, текстурно-структурных, кристаллохимических и кристаллофизических особенностей шлаков<sup>2</sup>.

Минерографические исследования проводили в поляризованном отраженном свете на исследовательском металлографическом микроскопе МИМ-8-М, МИМ-10 и микроскопе поляризационном рабочем проходящего и отраженного света с цифровой камерой OLYMPUS E 420 ЛабоПол-2 РПО вариант 2, а текстурно-структурные – на натуральных обломках проб на стереографических микроскопах МБС-2 и ЛабоСтеми-4 зум.

Пробы для минерографических исследований цементировали эпоксидной смолой в брикеты диаметром 20 мм и подвергали мокрой шлифовке, доводке на алмазных брусках и алмазной пасте и полировке с использованием окиси хрома. Исследования проводили в широком диапазоне увеличений от натуральных размеров до 3000× с обязательным фотографированием наиболее интересных структур. При больших увеличениях (500 – 3000×) в качестве иммерсионной жидкости использовали кедровое масло. Исследования проводили, как в обычном, так и в поляризованном свете.

Предварительно были проведены опытные плавки в 350-т конвертерах с промежуточными повалками для исследования физико-химических свойств шлака [2]. В таблице приведены минералы, присутствующие в опытных образцах шлака (1, 2, 3 и 4), отобранных, соответственно, на 4-й, 12-й минутах, по окончанию продувки и после нанесения щлакового гарнисажа характерной конвертерной плавки. Минеральный состав рассчитывали по данным химического анализа с учетом результатов минерографических исследований опытных образцов шлака.

**Таблица**  
**Минеральный состав опытных образцов шлака**

Минерал (соединение)	Равновесная температура, °C	Содержание минерала в опытных образцах, %			
		1	2	3	4
Периклаз ( $MgO$ )	2800	3,97	1,91	11,45	20,29
Кальцоксид ( $CaO$ )	2570	1,2	14,44	25,05	34,04
Вюстит ( $FeO$ )	1370	1,23	2,67	3,63	1,01
Мангандозит ( $MnO$ )	1850	2,94	2,51	3,49	2,61
Шпинель ( $MgAl_2O_4$ )	2135	1,29	1,4	0,82	0,25
Галаксит( $MnAl_2O_4$ )	1870	1,29	0,47	0,27	0,11
Герценит ( $FeAl_2O_4$ )	1750	1,29	0,47	0,27	0,44
Якобсит ( $MnFe_2O_4$ )	1500	1,94	1,48	0,81	0,37
Магнезиоферрит ( $MgFe_2O_4$ )	1810	0,65	3,69	2,73	2,39
Магнетит ( $FeFe_2O_4$ )	1592	1,37	1,18	0,81	1,56
Маггемит ( $\gamma-Fe_2O_3$ )	-	0,69	3,04	0,26	0,23
Кальциооливин ( $Ca_2SiO_4$ )	2130	29,79	26,49	22,64	8,56
Форстерит ( $Mg_2SiO_4$ )	1890	14,9	15,89	9,28	6,95
Фаялит ( $Fe_2SiO_4$ )	1205	7,45	5,89	2,91	4,55
Тефроит ( $Mn_2SiO_4$ )	1345	7,45	5,89	2,83	1,07
Витлокит ( $Ca_5(PO_4)_3$ )	1720	1,51	0,99	0,91	0,61
Волластонит ( $CaSiO_3$ )	1540	-	0,39	-	2,85
Пироксен (( $Mg,Fe,Mn,Ca)_2Si_2O_6$ )	1500	8,68	0,39	-	2,23

<sup>2</sup> Исследования выполнены под руководством к.г-м.н., профессора Пермякова А.А.